

石油系 炭化水素 改質用 工業 觸媒에 關한 研究

南 宮 塞* 金 斗 泳*

A Critique on The Activity Test Method of Commercial Steam-Hydrocarbon Reforming Catalysts

Shik Namkoong, Doo-Young Kim

Dept. of Chem. Eng., Seoul Nat'l. Univ.

Abstract

The activity test of commercial catalysts of steam-hydrocarbon reforming was carried out under the wide range of working conditions. ($T=650\sim 850^{\circ}\text{C}$; S. V. = $600\sim 1,200 \text{ hr}^{-1}$; steam to carbon ratio = 1.17)

An activity test method has been developed through the parallel-triple-column gas chromatographic technique.

The following results were obtained:

- (1) Hydrocarbons are scarcely found in the outlet gas except methane, and the gas composition could be approximately predicted by assuming the chemical equilibrium at the reaction gas temperature, among H_2 , CO , CO_2 , CH_4 , and H_2O .
- (2) It is difficult to compare the activity of catalysts by any direct comparisons of kinetic data at the high conversion level of reactants, while a conventional method proposed by Inoue et al is eligible.
- (3) It was concluded that the activity of commercial catalysts A, B, and C are approximately same.
- (4) Steam to carbon ratio to prevent the carbon deposit was examined experimentally and theoretically.

1. 緒 論

肥料工業, 石油化學工業에 쓰이는 水素 또는 合成gas를 製造하는 데 使用되는 工業觸媒는 耐火性 摘體에 20~40 %의 NiO 를 擔持시킨 것으로서 1889년에 Mond 와 Langer가 美國과 英國의 特許를 얻은 以來 各種의改良이 거듭되어 왔다. 우리 나라에 있어서도 現在 암모니아工場의 水素製造法으로서 大部分 naphtha의 水蒸氣改質法이 採用되고 있다. 炭化水素의 水蒸氣改質反應은 炭化水素의 分解反應과 水蒸氣에 依한 酸化反應이 複合된 것으로서 個個의 反應에 對한 反應速度論의 解析은 反應物質이 純粹한 炭化水素의 경우라도

炭素數가 커질수록 考慮되어야 할 反應의 數가 많아지며 더우기 反應物質로서 naphtha 溶分을 使用하는 경우 그 中에 包含되는 paraffin系 同族體의 數만 하더라도 百餘種이 되므로 极히 困難하다.

그러나 實際는 觸媒 存在下에서의 高級炭化水素의 水蒸氣改質反應의 하나하나가 大端히 迅速하게 일어나므로 改質爐 内의 有効反應速度는 傳熱速度에 依해 決定되며 이에 따라 改質爐出口의 gas組成은 그 出口溫度에 있어서 methane을 反應시켰을 때의 平衡組成에 가깝고, 그 偏差로 觸媒性質을 比較하는 便法⁽¹⁻⁴⁾이 工學的으로 妥當視되고 있다.

著者들은 數年間 LPG의 水蒸氣改質反應에 關한 基礎研究를 하여 왔으나⁽²⁻⁴⁾ 本研究에 있어서는 工業觸

* 서울大學校 工科大學

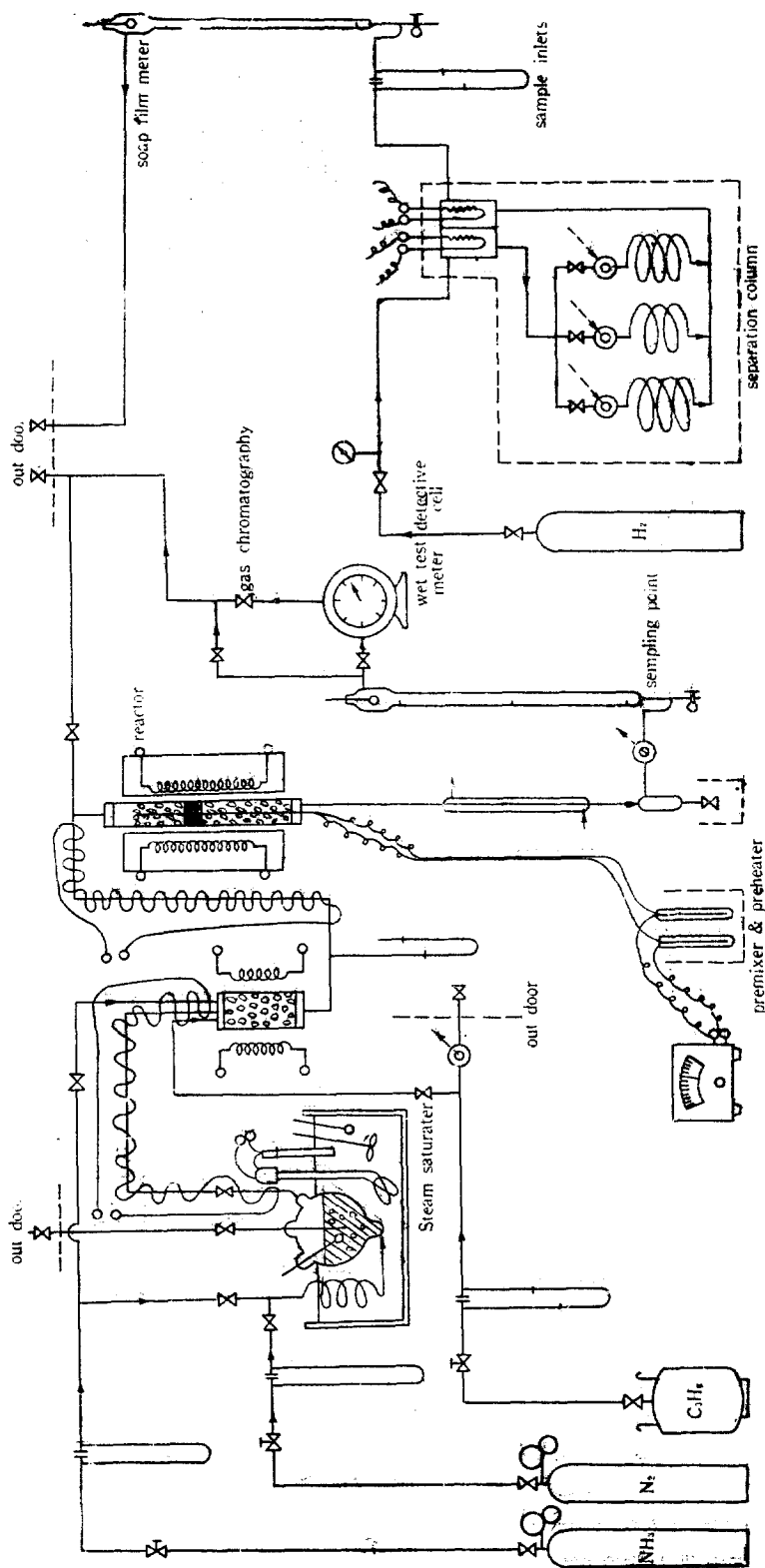


Fig. 1 Schematic Flow Diagram of Experimental Apparatus

媒의活性試驗法에關連하여 工業的改質爐의操作設計에必要한事項에對해서 檢討한結果를報告한다.

2. 實驗

2.1. 觸媒

觸媒의原形은中空圓筒狀이나破碎分級하여 6~8 mesh인것을使用하여性能試驗을行하였다.各觸媒의明細를Table 1에表示하였다.

Table 1. Properties of Catalysts

	Catalyst A	Catalyst B	Catalyst C
Size	16mm×16mm	16mm×16mm	16mm×16mm
Shape	Form of Raschig Ring	Form of Raschig Ring	Form of Raschig Ring
Bulk Density [kg.m ⁻³]	1.0	0.8	0.8
Steam to Carbon Ratio	—	2.3~2.5	1.8~10
Inlet Temp. [°C]	—	400~500	600
Outlet Temp. [°C]	700~900	700~800	800
Pressure [atm]	1<	10~20	38>
Ni Content(%)	—	25	18~21
Theoretical Hydrogen Space Velocity [hr ⁻¹]	3,500>	3,500>	8,000>
Supporting Material	Refractory Support	Refractory Support	Calcium Aluminate

2.2. 裝置 및 實驗方法

裝置의 flow sheet를 Fig. 1에表示하였다.反應管本體는 25mmφ×600mm의石英管의中心에熱電對의接點이上下로 移動할 수 있게끔保護管이裝置되어 있으며觸媒層(25mmφ×20~30mm)의上部에는反應gas의混合과豫熱을爲한 4~6 mesh의石英破片을, 그리고下部에는觸媒層의支持와反應生成 gas의冷却를 위한 6~8 mesh의磁製Rasching-ring을充填한 것이다.

實驗方法은一般的인固定觸媒式流通法으로行하였으며所定의比率로炭化水素과水蒸氣를混合하기위하여는直接으로炭化水素를물의飽和器로通할수도있으나工業觸媒의活性化를위한前處理手順으로서水蒸氣만을通하여야할경우, 또는水素내지NH₃와같이觸媒에依하여水素를發生하는還元性gas를通하여야할경우가있으므로, 여기서는不活性gas인窒素를물의飽和器에通하여所定의速度로水蒸氣를反應管에送入하는方法을擇한것이다.反應生成 gas는水冷却器,冷却trap를通하여水分을除去한 다음dry gas分離을soap film meter 내지濕式gas meter

로流量速度를測定한 다음室外로放出된다.

水蒸氣飽和器의機能은使用溫度가 100°C에가까울수록不安定하여水蒸氣의供給速度에따라서는炭化水素에對한水蒸氣의送入比에變動을가져올염려가있으므로特히反應gas의super heating과 premixing에留意하여야한다.

2.3. 分析裝置 및 定量法

自作한gas chromatography(mV記錄計以外의部分)의概略을Fig. 1, Fig. 2에, 그리고이에依한分析例를Fig. 3에表示하였다.分離column으로서並列式的triple column을試作한結果그性能이滿足스러웠다.簡單히그原理를說明하면分析하여야할成分인H₂, (O₂), N₂, CO, CO₂, CH₄, C₃H₈및其他炭化水素類中첫째로molecular sieve—13X column에依하여(O₂), N₂, CH₄, 및CO를分離하고, 둘째로silicagel column에依하여CO₂를分離하고, 세째로dimethylformamide에依하여C₃H₈를비롯한炭化水素類를分離할수있도록操作한다.

第2의column(S.G.)에서CH₄를N₂, CO等으로부터完全分離하면各成分의定量에必要的計算手順을보다簡素화할수있으나같은column에서分離하여야할CO₂의retention time이지나치게커지므로여기서는採用하지않았다.

H₂의定量을위해서는He等을carrier gas로하는第2의裝置가必要하나觸媒性能試驗裝置의反應gas의流速이soap film meter等에依해比較的正確히測定할수있는경우에는試驗裝置全體에對한元素別의收支式으로부터水素量을알수가있다.

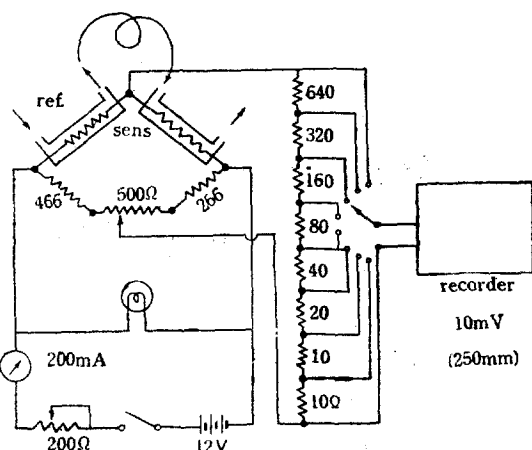


Fig. 2 Electric Circuit of Gas Chromatography

Sample:	Run No. B-26	Run No. B-26	Run No. B-26
Column:	M. X. -13X, 6 mmφ×2 m	: S. G., 6 mmφ×2.5 m	: D. M. F., 6 mmφ×4.5 m
Temperature:	18°C	: 18°C	: 18°C
Carrier Gas:	H ₂ (40 cc/min)	: H ₂ (65 cc/min)	: H ₂ (35 cc/min)
Chart Speed:	10 min/min	: 10 mm/min	: 10 mm/min

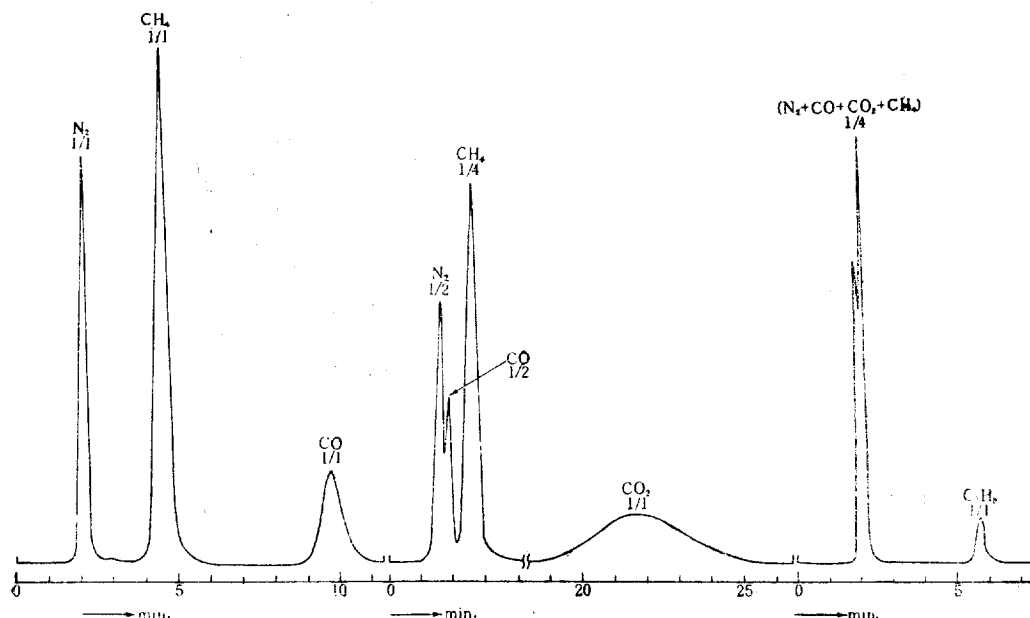


Fig. 3. Example of Gas Chromatography

Fig. 4는 세 가지 gas chromatogram의 面積測定值로
부터 全 成分의 組成을 定量하는 데 쓰인 計算手順을
說明하기 위한 flow sheet이며, Table 2는 Fig. 3에
紹介한 分析結果에 이를 應用한 數值例量 要約한 것인
다.

各 實驗 data의 信賴度는 反應機構나 轉化率에는 關係 없이 元素別의 收支式을 利用하여 檢查할 수 있다.

本 實驗에서 反應器에 水蒸氣를 送入시키기 為하여
使用한 不活性 gas인 N₂를 除外하면, 入口 成分은 C₃
H₈와 H₂O 뿐이며 出口 成分은 CH₄, CO, CO₂ 및 H₂O
뿐이므로, 任意 成分 J의 反應管 入口 및 出口에 있
어서의 流速을 각각 N_{J,i}, N_J [gr-mole hr⁻¹]로 表示
하고 水蒸氣의 轉化率을 q라 할 때 元素別의 收支式은
다음과 같다.

① 酸素收支 :

$$\{N_{H_2O,i} \times q_1\} - \{N_{CO} + 2N_{CO_2}\} = 0 \quad (1)$$

② 水素收支 :

$$\begin{aligned} &\{N_{H_2O,i} \times q_2\} \\ &- \{N_{H_2} + 2N_{CH_4} + 4(N_{C_3H_8,i} - N_{C_3H_8})\} = 0 \end{aligned} \quad (2)$$

③ 炭素收支 :

$$\begin{aligned} &3\{N_{C_3H_8,i} - N_{C_3H_8}\} \\ &- \{N_{CO} + N_{CO_2} + N_{CH_4}\} = 0 \end{aligned} \quad (3)$$

各元素別의 收支式이 完全히 成立되는 경우에는 (1)
(2), (3)의 各式이 分析誤差範圍內에서 成立하고 q₁과
q₂는 同一한 値을 가져야 할 것이나 實際로는 分析結果를
代入하면 (1), (2)兩式에 있어서 水蒸氣 轉化率
q₁과 q₂에 若干의 差異가 있는 경우가 적지 않으며, 炭
素析出의 경우에는 (3)式이 成立치 않는다.

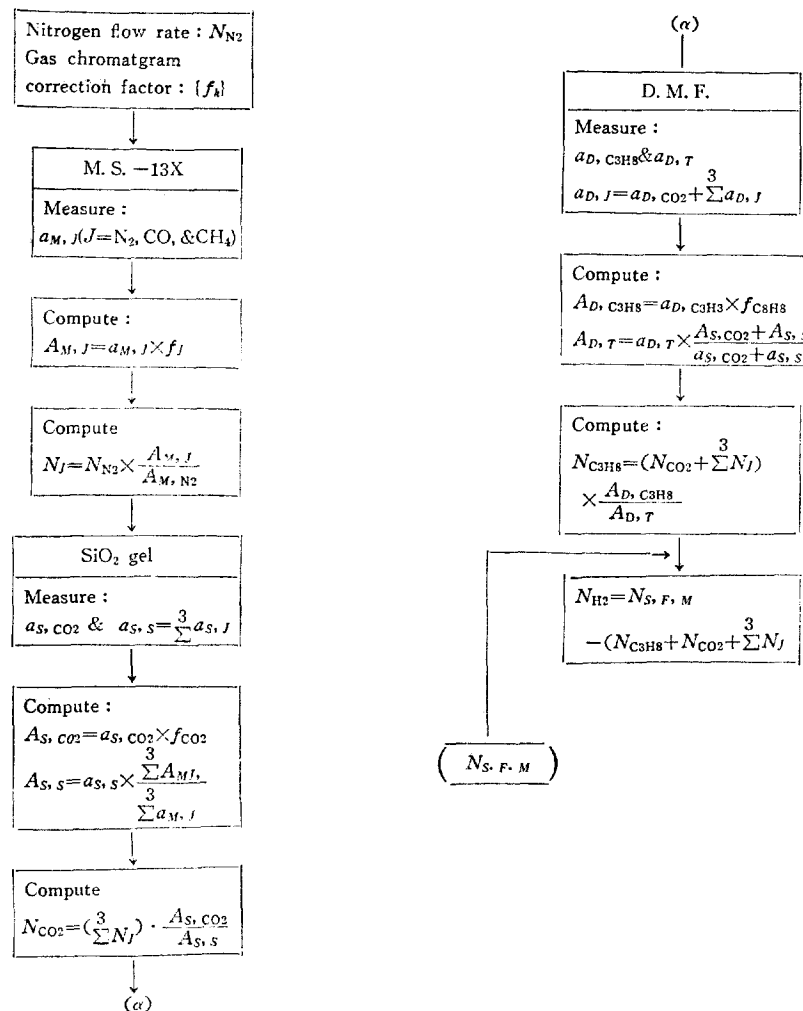


Fig. 4. Flow Sheet of Calculation of Flow Rates by Gas Chromatograph

Table 2. Numerical Example of Fig. 4

(M. S. -13X)

J	a _{M, J}	A _{M, J}	N _J
N ₂	2.5	4.075	0.0458
CH ₄	7.3	12.848	0.1443
CO	2.0	3.260	0.0366
Σ	11.8	20.183	0.2267

$$N_{N2} = 0.0458$$

$$A_{M, J} = a_{M, J} \times f_J$$

$$N_J = N_{N2} \times \frac{A_{M, J}}{A_{M, N2}}$$

(S. G.)

	a_s	A_s	N
N_2, CH_4	13.2	22,578	0.2267
CO	6.5	8,970	0.0903
Σ	19.7	31,548	0.3170

(D. M. F.)

	a_D	A_D	N
N_2, CO	16.40	26.25	0.3170
CO_2, CH_4			
C_3H_8	0.05	0.05	0.0063
Σ	16.45	26.30	0.3233

$$N_{C_3H_8} = (N_{CO} + \sum N_j) \times \frac{A_{D, C_3H_8}}{A_{D, T}} = 0.0063$$

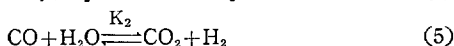
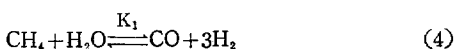
$$N_{H_2} = N_{S, F, N} - (N_{C_3H_8} + N_{CO_2} + \sum N_j) = 0.6672 - 0.3233 = 0.3429 \text{ [gr mole. hr}^{-1}\text{]}$$

3. 實驗結果

各觸媒 10 cc를 使用하여 溫度 $650^{\circ}\text{C} \sim 850^{\circ}\text{C}$, S. V. $600 \sim 1,200 \text{ hr}^{-1}$ 에서 實驗한 結果 一部를 Table 3에 表示하였다.

Fig. 5~8은 觸媒 A에 對한 dry basis의 各 成分의 mole 分率 $x_j(\%)$ 를 點綴한 것이며 水素以外의 成分은 大體로 10% 程度이므로 이것을 片對數紙에 點綴함으로써 實驗한 全 溫度範圍에 걸쳐 다음과 같이 하여 算出한 平衡組成으로부터 어느 程度 偏異하고 있는가를 알아보기 쉽게 한 것이다. (Fig. 9 참조)

即 反應生成 gas에서 原料 gas의 各 成分(CH_4 : 1.62%, C_2H_6 : 0.10%, C_3H_8 : 98.16% C_4H_{10} : 0.12%) 中 CH_4 以外의 成分이 없거나 包含되지 않는 경우에 對하여는 生成 gas의 主成分인 H_2 , CO, CO_2 , CH_4 및 H_2O 의組成이 다음과 같은 두 反應의 反應溫度에 있어서 平衡을 이루고 있는 것으로 假定하여 試行查誤法에 依하여 各 成分의 平衡組成을 反應溫度의 函數로서 計算할 수가 있다.



反應 (4), (5)의 各 平衡定數는 mol 基準의 流速 N_j 에 依하여 表示하면 다음과 같다.

$$K_1 = \frac{N_{H_2}^3 \cdot N_{CO}}{N_{CH_4} \cdot N_{H_2O}} \cdot \frac{\pi_i^2}{N_i^2} = \frac{P_{H_2}^3 \cdot P_{CO}}{P_{CH_4} \cdot P_{H_2O}} \quad (6)$$

$$a_{S, s} = \sum a_{S, j}$$

$$A_{S, CO_2} = a_{S, CO_2} \times f_{CO_2}$$

$$A_{S, s} = a_{S, s} \times \frac{\sum A_{M, j}}{\sum a_{M, j}}$$

$$= 13.2 \times \frac{20.183}{11.8} = 22.578$$

$$N_{CO_2} = (\sum N_j) \times \frac{A_{S, CO_2}}{A_{S, s}} = 0.0903$$

$$a_{D, T} = a_{D, CO_2} + \sum a_{D, j}$$

$$A_{D, C_3H_8} = a_{D, C_3H_8} \times f_{C_3H_8}$$

$$A_{D, T} = a_{D, T} \times \frac{A_{S, CO_2} + A_{S, s}}{a_{S, CO_2} + a_{S, s}} = 26.25$$

$$\text{但 } N_t = N_{H_2} + N_{CO} + N_{CO_2} + N_{CH_4} + N_{H_2O} + N_{N_2}$$

π_t = 全壓

$$K_2 = \frac{N_{CO_2} \cdot N_{H_2}}{N_{CO} \cdot N_{H_2O}} = \frac{P_{CO_2} \cdot P_{H_2}}{P_{CO} \cdot P_{H_2O}} \quad (7)$$

여기서 所定의 原料의 供給速度와 組成에 對한 反應器出口에 있어서의 平衡達成時의 各 成分의 流量速度를 다음과 같이 手順에 依하여 求할 수가 있다.

便宜上 供給原料 gas의 組成으로부터 各元素別의 供給速度를 原料炭化水素가 paraffin系일 때

$$N_C = n \times N_{CnH_{2n}} + 2 \quad [\text{gr-atom} \cdot \text{hr}^{-1}]$$

$$N_H = 2(1 + \beta)N_C + 2 \quad [\text{gr-atom} \cdot \text{hr}^{-1}]$$

$$N_O = \beta N_C \quad [\text{gr-atom} \cdot \text{hr}^{-1}] \quad (8)$$

但 β : steam to carbon ratio $[-]$

等으로 나타내기로 한다.

먼저 N_{CH_4} 로서 $O \sim N_C$ 의 範圍 内의 任意의 $N^*_{CH_4}$ 이 주어졌을 때의 그 의 成分의 流速이 決定되는 試算의 過程은 다음과 같다. 即 反應前後의 量論的 關係로부터 $N_{CO_2} = 0$ 으로 假定하면

$$N^*_{CH_4} = N^*_{CH_4}$$

$$N^*_{CO} = N_C - N^*_{CH_4}$$

$$N^*_{H_2O} = N_O - N_{CO}$$

$$N^*_{H_2} = (N_H - 4N^*_{CH_4} - 2N_{H_2O})/2$$

$$N^*_{t} = N_t$$

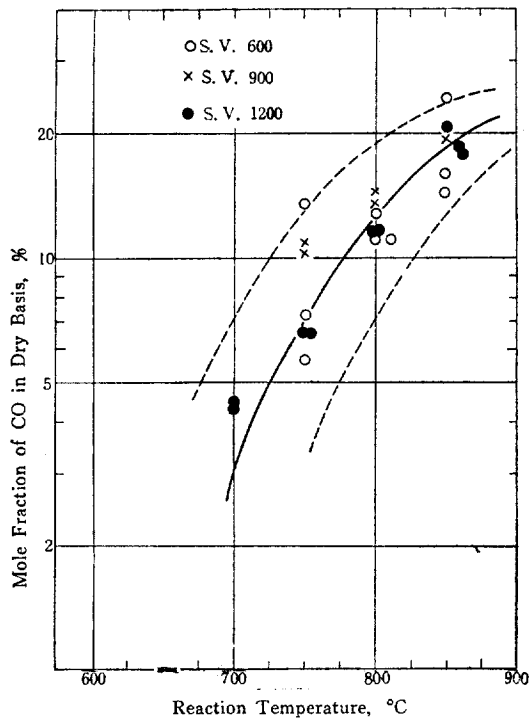
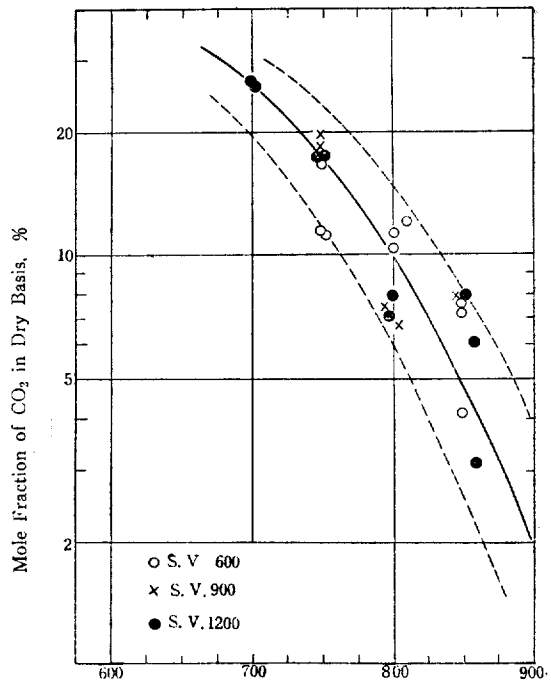
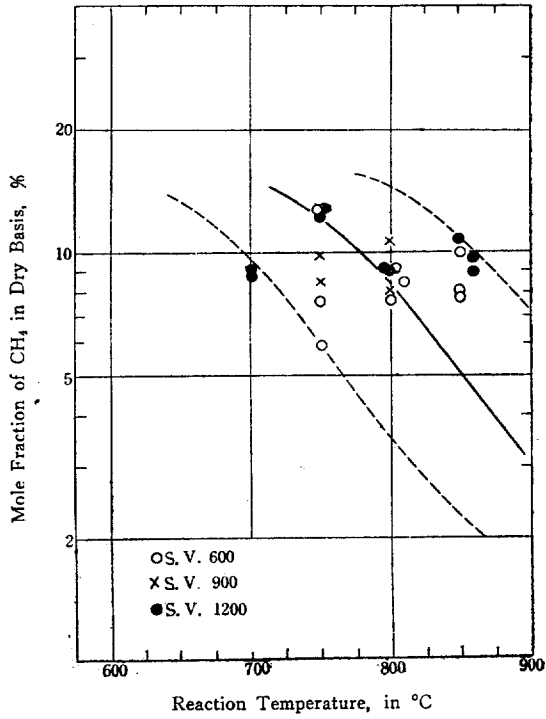
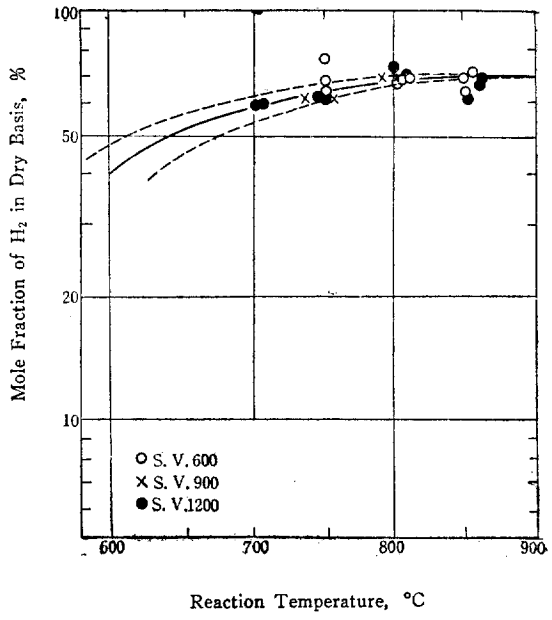
Table 3. Experimental Raw Data

Run No.	Reaction Condition		Inlet Composition			Outlet Gas Composition				
	Temp. [°C]	S. V. [hr ⁻¹]	N _{H2O, i}	N _{C3H8, i}	N _{N2, i}	N _{H2}	N _{CH4}	N _{CO}	N _{CO²}	N _{C3H8}
			[g-mol · hr ⁻¹]			[g-mol · hr ⁻¹]				
A-1	810	600	0.186	0.0448	0.0353	0.2082	0.0363	0.0342	0.0253	—
A-2	750	600	0.187	0.0456	0.0332	0.1952	0.0345	0.0422	0.0374	—
A-3	860	1200	0.3823	0.0986	0.0520	0.6670	0.0300	0.1770	0.0863	0.0023
A-4	860	1200	0.3823	0.0986	0.0520	0.6245	0.0580	0.1613	0.0905	0.0024
A-5	850	600	0.1911	0.0468	0.0281	0.3227	0.0211	0.1253	0.0391	0.0012
A-6	850	1200	0.3810	0.0995	0.0485	0.4994	0.0650	0.1630	0.0855	0.0004
A-7	850	900	0.2105	0.0732	0.0352	0.3751	0.0450	0.1110	0.0312	—
A-8	850	600	0.1848	0.0450	0.0374	0.2712	0.0293	0.0567	0.0386	—
A-9	800	1200	0.3841	0.0988	0.0512	0.5562	0.0606	0.0911	0.0694	—
A-10	800	900	0.2878	0.0723	0.0399	0.4747	0.0476	0.0939	0.0723	—
A-11	800	900	0.2878	0.0723	0.0399	0.4645	0.0476	0.0939	0.0519	—
A-12	800	600	0.1932	0.0469	0.0279	0.2659	0.0435	0.0518	0.0295	—
A-13	750	1200	0.3855	0.0992	0.0513	0.3596	0.1018	0.0389	0.0683	0.0120
A-14	750	1200	0.3855	0.0992	0.0513	0.3610	0.1018	0.0389	0.0716	0.0121
A-15	750	900	0.2882	0.0726	0.0401	0.2773	0.0861	0.0474	0.0436	—
A-16	750	900	0.2882	0.0726	0.0401	0.2747	0.0861	0.0474	0.0364	—
A-17	750	600	0.1938	0.0470	0.0290	0.2100	0.0305	0.0150	0.0161	—
A-18	700	1200	0.3841	0.0988	0.0512	0.2656	0.1167	0.0190	0.0382	0.0038
A-19	700	1200	0.3841	0.0988	0.0512	0.2703	0.1167	0.0190	0.0401	0.0023
B-20	800	1200	0.4009	0.1018	0.0375	0.6696	0.0866	0.1122	0.1282	—
B-21	800	1200	0.4009	0.1018	0.0375	0.6825	0.0751	0.1070	0.1196	—
B-22	700	1200	0.3819	0.0983	0.0544	0.3676	0.1298	0.0412	0.0571	0.0070
B-23	700	900	0.2854	0.0723	0.0434	0.2552	0.1088	0.0222	0.1228	0.0006
B-24	700	900	0.2854	0.0723	0.0434	0.1760	0.1856	0.0258	0.1091	0.0005
B-25	700	600	0.1901	0.0464	0.0300	0.2333	0.0807	0.0205	0.0300	—
B-26	750	1200	0.3960	0.0989	0.0519	0.4327	0.1192	0.0714	0.0831	—
B-27	750	900	0.2868	0.0723	0.0407	0.3486	0.0692	0.0469	0.0543	—
B-28	750	600	0.1912	0.0469	0.0286	0.2182	0.0724	0.0447	0.0304	—
B-29	800	900	0.3861	0.0993	0.0458	0.5491	0.0958	0.1158	0.1232	—
B-30	800	900	0.2919	0.0731	0.0351	0.3619	0.0762	0.0908	0.0587	—
B-31	800	600	0.1930	0.0471	0.0246	0.2373	0.0692	0.0180	0.0172	—
B-32	650	1200	0.3867	0.0994	0.0458	0.3609	0.1398	0.0253	0.0782	—
B-33	650	900	0.2900	0.0728	0.0354	0.2558	0.1178	0.0118	0.0736	—
B-34	650	600	0.1933	0.0472	0.0246	0.1574	0.0742	0.0129	0.0257	—
C-35	700	1200	0.3863	0.0994	0.0458	0.3200	0.1614	0.0351	0.0963	0.0067
C-36	700	1200	0.3863	0.0994	0.0458	0.3439	0.1443	0.0366	0.0903	0.0063
C-37	700	900	0.2920	0.0731	0.0354	0.2314	0.1083	0.0285	0.0498	—
C-38	700	600	0.1930	0.0472	0.0246	0.0717	0.0993	0.0180	0.0245	—
C-39	750	900	0.2920	0.0731	0.0354	0.3249	0.0842	0.0318	0.0913	—
C-40	750	1200	0.3860	0.0994	0.0458	0.2763	0.2179	0.0583	0.1240	—

이成立되어야 할 것이나 實際로는 $N_{CO_2} \neq 0$ 일 것이라 $O \sim N_c$ 範圍內에서 N_{CO_2} 의 假定值 N_{CO_2} 을 (6), (7)式에 代入하여 K_1 의 값과 K_2 의 값이同一한 温度 T^* 下에서의 값을 각각 가지게 될 때까지 search method

에 依하여 試算한다. k 번째 試算($k=1, 2, \dots$)에서 다음의 關係式이成立하여야 할 것이다

$$K_1^{(k)} = K_1(T_1^*) = \frac{(N_{H_2} + N_{CO_2}^{(k)})^3 \cdot (N_{CO} - N_{CO_2}^{(k)})}{N_{CH_4}^{(k)} \cdot (N_{H_2O} - N_{CO_2}^{(k)})}$$

Fig. 5. x_{CO} vs T (Catalyst A)Fig. 6. x_{CO_2} vs T (Catalyst A)Fig. 7. x_{CH_4} vs T (Catalyst A)Fig. 8. x_{H_2} vs T (Catalyst A)

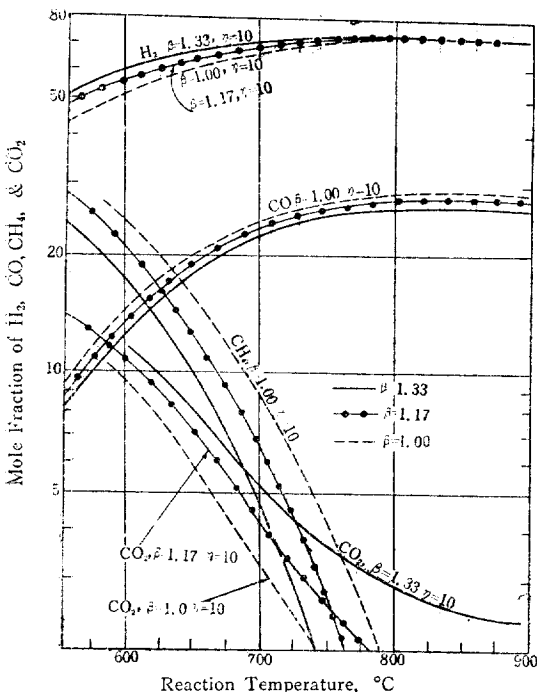


Fig. 9 Equilibrium Composition Curves

$$\frac{N^{(k)}_{CO_2}}{N^{(k)}_{CO_2}} \cdot \frac{\pi_t^2}{N_t^2} \quad (10)$$

$$K_2^{(k)} = K_2(T_2^*)$$

$$= \frac{N^{(k)}_{CO_2} \cdot (N^*_{H_2} + N^{(k)}_{CO_2})}{(N^*_{CO} - N^{(k)}_{CO_2}) \cdot (N^*_{CO_2} - N^{(k)}_{CO_2})} \quad (11)$$

最終的으로 n 번째試算에서

$$|T_1^* - T| \leq \epsilon \quad (12)$$

$$\text{일 때 } T^* = T_1^* = T_2^* \quad (13)$$

인結果를 얻었을 때 CH₄以外의 成分의 流量速度는各各 温度 $T = T^*$ 에서

$$\left. \begin{aligned} N_{CO} &= N^*_{CO} - N^{(n)}_{CO_2} \\ N_{H_2O} &= N^*_{H_2O} - N^{(n)}_{CO_2} \\ N_{H_2} &= N^*_{H_2} + N^{(n)}_{CO_2} \\ N_{CO_2} &= N_{CO}^{(n)} \\ N_{N_2} &= N_{N_2} \end{aligned} \right\} \quad (14)$$

(14)의結果로부터 各溫度에 있어서의 N₂와 H₂O를除外한 dry gas basis의 平衡組成值를 算出하여 steam to carbon ratio β 를 parameter로하여 plot한 것이 Fig. 9이다.

4. 考察

4.1. 空間速度의 影響

空閒速度가 600~1,200 hr⁻¹인範圍內에서는 거의反應生成 gas의組成의 差異를 찾아볼 수 없었다. 關與되는一連의反應이反應速度에對해서充分히 긴反應時間(6~3 sec)임을 알 수가 있으며 이와 같은事實은反應器出口 gas中에原料인 C₃H₈가Table 3에서보는 바와 같이 거의 없는 것으로도確認할 수가 있다.

4.2. 反應溫度의 影響

前節의考察結果에依하면反應生成 gas中에包含되는各成分의分壓間に化學平衡을 이루고 있을것이豫想된다.

앞의Fig. 5~8에 알 수 있다시피化學平衡을假定하는경우에는測定된觸媒層의溫度에比해反應gas의溫度가100°C~150°C낮았다고짐작할수있는傾向이있으며實驗值曲線은이와같은見地에서標準的인原料gas組成($\beta=3.5/3, \eta=10$)에對한平衡組成曲線을100~150°C高溫側으로平行移動하여그은것이다.

이와같은事實은反應管內의觸媒上部의豫熱部로서의機能이不充分할때와水蒸氣改質反應이甚한吸熱反應이기때문에觸媒粒子層과 이를反應하면서通過하는反應gas의 사이에溫度差가생기는경우에일어날수있겠으나이點에關해서는次後에再檢討할計劃이며具體적으로는

1)反應gas의豫熱을充分히하기위해서反應管內의豫熱部分을보다크게할것.

2)觸媒充填層部分에있어서의傳熱速度와反應熱吸收速度의對比를비롯한移動速度論의考察을加할것等이다.

實驗上溫度測定의誤差로는, 믿어지지는 않으나여기서假想의反應gas의溫度로서觸媒層의溫度보다若干낮은溫度를取한다면 CO₂以外의組成分析結果가大體로熱力學의平衡組成의溫度依存性과同일한傾向을 가지고 있음이分明하다. 이것은오히려觸媒活性에關連된現象으로取扱됨이妥當할것으로 생각된다.

4.3. 各觸媒의活性比較

實驗結果를보면反應生成 gas의組成이一定한反應條件下에서5%程度變異하여例를들어水素의경우에相對溫度가±8%程度이나CO의경우에는低溫

部에서, 그리고 CH_4 의 경우에는 高溫部에서 平衡組成이 10% 以下가 되므로 各 觸媒의 性能을 直接的인 考察에 依해서 論하기가 困難하다.

여기서는 Inoue¹⁾ 等이 發表한 水蒸氣改質工業觸媒의 活性判定法에 依하여 檢討하기로 한다. 그 方法의 要點은 前出한 (6), (7)式의 各 成分의 mol 基準의 供給速度에 實測值를 代入하므로써 얻어지는 K_1 및 K_2 의 値으로부터 求해지는 溫度 T_1 과 T_2 를 찾아 反應溫度 T 와의 差를 ΔT_1 , ΔT_2 로 둘 때 實驗結果로부터

$$\begin{aligned} T_2 - T &= \Delta T_2 \geq 0 \\ T_1 - T &= \Delta T_1 < 0 \end{aligned} \quad (14)$$

이미 그 때 ΔT_1 의 絶對值가 작을수록 觸媒活性이 크며, 클수록 相對的으로活性이 낮다는 것이다. 위와 같은 比較를 위하여 觸媒 A에 對해서 點綴한 것이 Fig. 10~11이며, 觸媒 A, B, C의活性은 大體로 같은 것임이 Fig. 12로부터 알 수가 있다. 또한 觸媒活性의 限界性 때문에 反應條件이 高溫일수록 T_1 이 T 로부터의 偏差가 커지는 것으로 理解된다.

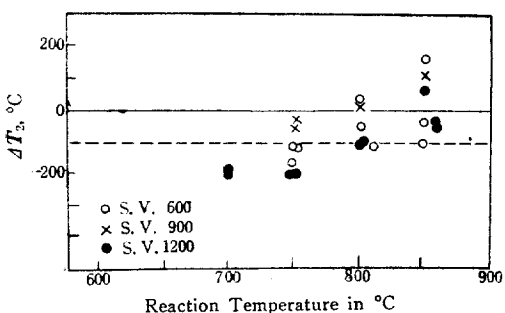


Fig. 10. T vs ΔT_2 (Catalyst)

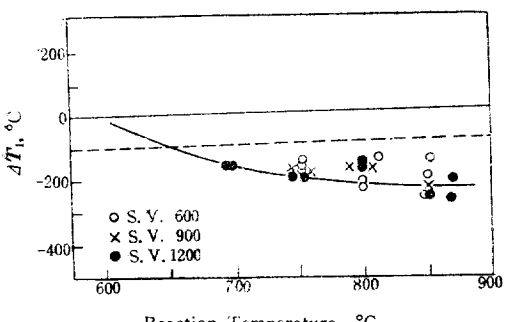


Fig. 11. T vs ΔT_2 (Catalyst A)

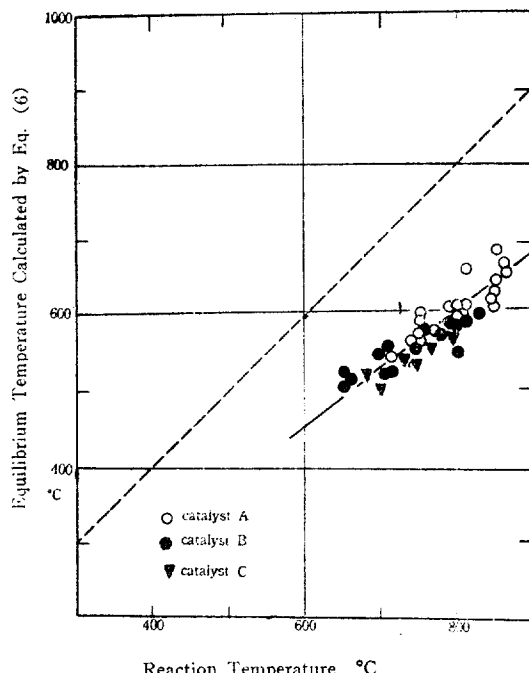


Fig. 12. Reaction Temp. vs. Equilibrium Temp. Calculated by Eq. (6)

4.4. 炭素析出

水蒸氣改質觸媒의 수명은 炭素析出現象에 依하여 支配되는 것으로 알려지고 있으며 그것은 두 가지 現象이 겹친 것으로 생각된다. 反應管內의 炭素, CO , CO_2 , H_2O , H_2 , CH_4 間의 平衡에 依한 것과 原料 gas에 包含되어 있는 炭化水素의 热分解에 依한 것으로 推測되고 있다.

前者에 關하여 村長⁵⁾는 平衡論的인 考察에 依하여 β 의 最小值 β_{\min} 를 計算한 結果 450°C 以下와 800°C 以上에서는 $\beta_{\min} = 0.9$ 程度이나 그 中間에 極大點이 있어 550~650°C에서는 $\beta_{\min} = 1.4$ 程度임을 밝힌 바가 있고 Dodge⁶⁾도 CH_4 를 原料로 할 때 β 를 1.3 以下로 하면 炭素가 析出된다는事實을 報告한 바 있다.

改質爐의 操作設計에 있어서는 操業壓力이 높고 原料炭化水素의 炭素數가 커짐에 따라 β 를 크게 設定하고 있으며 그範圍는 1.8~10.0에 이르고 있다.

한편 Reitmeier⁷⁾ 等은 CO_2 에 依한 部分酸化法에 關하여 CH_4 의 改質 gas 中의 $\text{H}_2:\text{CO}$ 의 比를 調節하기 위한 平衡的考察에서 炭素析出界限를 計算에 依하여 밝힌 바가 있다.

이手法을 C_3H_8 의 경우에適用한結果를 아울러 表示한 것이 Fig. 13이다.

그림에서曲線과兩軸 사이의領域이炭素가析出하는部分이며,部分酸化法이이런경우는이曲線과橫軸의交點이 β_{min} 을 나타낸다.

計算例가두가지경우에局限되어있으므로明確하지는않으나常壓에있어서 β_{min} 大略1.3임을알수있다.

以上은原料gas의成分을考慮한檢討이나,反應器出口의生成gas에着目하여操業中에炭素析出의危險性을check하는또한가지種類의手法이있다.

즉井上等⁶⁾은簡便法으로서炭素析出反應으로서



만을考慮하여,各溫度에있어서 CO_2 對 CO 의臨界比와 CO 의分壓과의關係로부터알아볼수있는圖表를利用할것을提案하고있다.(Fig. 14 참조)

이方法의信賴度를알아보기위해實測data의몇 가지를代入하여얻은結果를表示한것이Table 4이다.

表中實驗後反應管으로부터引出한觸媒의色調로부터判定한炭素析出與否를併記하였으나完全히一致하지않음을알수있다.

(15)式以外의炭素析出反應, 특히原料炭化水素의熱分解反應에依한 C_2H_2 의生成等이考慮되어야한것이다.

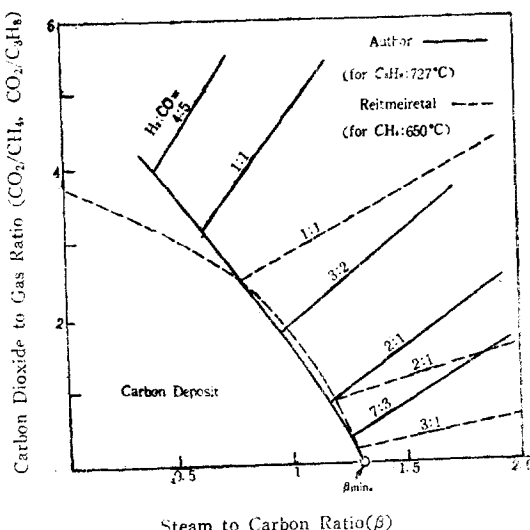


Fig. 13 Steam to Carbon Ratio vs CO_2 to Gas Ratio

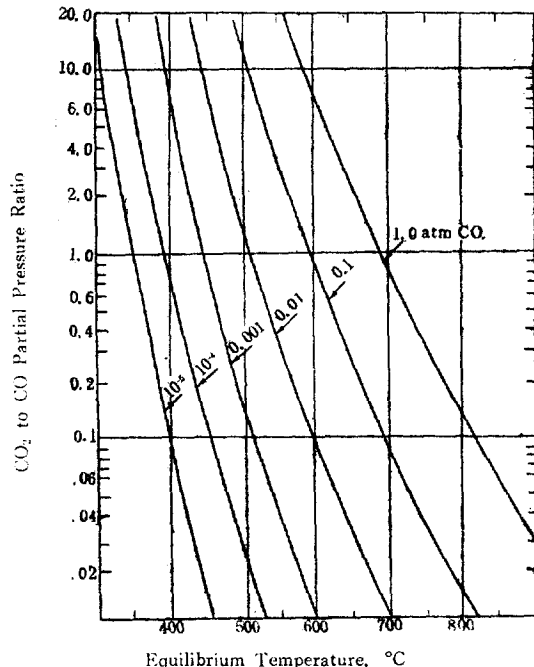


Fig. 14 The Relation between CO_2 to CO Partial Pressure Ratio and Temp. Required to Present Carbon Deposit for Various CO Partial Pressure

Table. 4 Carbon Deposit Check By Inoues Method

Run No.	P_{CO}	P_{CO_2}	P_{CO_2}/P_{CO}	$K^* p$	T*	T	Carbons Deposit Theory	Exp.
1	0.0764	0.0565	0.740	9.70	597<	810	NO	YES
2	0.0992	0.0880	0.889	8.95	600<	750	NO	NO
3	0.1310	0.0638	0.487	3.758	636<	860	NO	(NO)
19	0.0740	0.0562	0.740	10.24	596<	750	NO	NO
20	0.0392	0.0427	1.072	27.32	563<	750	NO	(NO)
21	0.0506	0.0521	1.030	20.26	572<	750	NO	NO

4.5. 實驗data의精度

同一한觸媒의同一한反應條件下에있어서의性能試驗이正確하게一致되지않는理由로서다음과같은세가지를檢討하였다.

- 1) 水蒸氣의 carrier gas로서使用的不活性gas인 N_2 의分壓에依한平衡組成值의變動.(式(6)参照, $p_{N_2}=0.03\sim 0.07\text{ atm}$)
- 2) 水蒸氣飽和器의性能의經時變化 또는下安定性
- 3) carrier gas와 C_3H_8 의流速調節의不正確性으로因한steam to carbon ratio β 의變動.
- 4) 觸媒의活性화의不完全.

그 결과를 要約하면 1)項은 $p_{N_2}=0.03\sim 0.07 \text{ atm}$ 였으나 (6)式에 依하여 計算한 結果 影響이 微小하였고 2)項은 各 實驗마다 C_3H_8 gas를 送入하기 直前까지 約 2時間에 걸쳐 冷却 trap에 濰縮되는 물의 量으로 blank test를 하였으며 飽和器를 裝置한 恒溫槽의 溫度와 飽和器內의 水溫에 不一致가 있는 等 小型裝置에 있을 수 있는 性能의 不安定性을 克服하기 為한 對策을 세운 結果 反應續行 中에는 變動이 거의 없었던 것으로 推測된다.

steam to nitrogen ratio γ 가 6.0~13.0 (恒溫槽 溫度로 調節)에서 變化하여도 그 때마다 steam to carbon ratio β 를 一定하게끔 設定하였기 때문에 結果의 으로 1)項 程度의 微小한 影響밖에 算出되지 않았다 (CH_4 의 경우 ±0.5% 程度). 3)項의 影響을 檢討하기 위하여 β 가 實驗續行 中에 設定值 1.17를 中心으로 1.00~1.33의 範圍 (manometer reading 2~3 mm H_2O)에서 變動하는 수가 있었다고 假定하여 이 때의 原料組成에 따른 平衡組成變化範圍를 Fig. 9에 點綴하였다. 이로 부터 2)項에 比하여 約 5倍의 影響이 있을 것이 像想된다. (CH_4 의 경우 ±2.5% 程度)

끝으로 4)項의 問題點은 3)項에 끗지 않게 比重이 oun 것으로 생각된다. 工業的改質爐의 start up에 있어서는 活性化가 充分히 된 狀態에 이르기까지에는 數十 時間을 要하는 것이라 하니 研究室의 與件 때문에 最長 48 時間의 連續試驗밖에 實行하지 못했음이 考慮되어야 할 것으로 생각된다.

5. 結論

1) 炭化水素의 水蒸氣改質用 工業觸媒의 觸媒活性試驗結果 觸媒 A, 觸媒 B, 및 觸媒 C 사이에 本質적 差異가 없음을 밝힐 수가 있었다.

2) 實驗範圍 内에서 反應生成 gas의 組成을 化學平衡을 假定한 組成의 計算值와 對比한 結果 反應溫度보다, 100°C~150°C 낮은 溫度에 있어서의 計算值와 實驗值가 一致하는 경향이 있으며 高溫일수록 溫度 差異는 커진다.

3) 炭素析出을 防止하기 為한 steam to carbon ratio는 热力學的 理論 最小值가 CH_4 와 C_3H_8 의 경우 700°C附近에서 約 1.3이며 實驗結果에 依하면 反應生成 gas의 組成으로부터 炭素 析出 與否를 判斷하기는 어렵다.

4) 本 研究에 있어서는 工業觸媒의 活性을 比較할 수 있는 反應裝置 및 分析裝置의 製作과 試驗法의 確立에 置重하였고, 充分한 實驗을 하지 못하였으나 앞으

로 工業的 規模의 改質爐의 操作設計에 關한 知識을 일기 위한 研究를 계속할 豫定이다.

附記

이 研究는 FY. 1969年度 文教部 學術研究 造費에 依하여 遂行되었으며, 感謝히 여긴다.

使用記號

$a_{K,J}$: area of gas chromatogram of component J for separation column K [cm^2]

A_J : product of a_J and f_J [cm^2]

f : sensitivity correction factor of gas chromatogram
(-)

K : chemical equilibrium constant.

N_J : molar flow rate of component J [$\text{gr}\cdot\text{mol}\cdot\text{hr}^{-1}$]

p : partial pressure [atm]

q : degree of conversion (-)

T : temperature [°C]

x_J : mole fraction of component J (dry basis)

β : steam to carbon ratio (-)

γ : steam to nitrogen molar ratio (-)

π_t : total pressure [atm]

(k) : k -th iteration

* : first iteration

J : component concerned.

參考文獻

1. T. Inoue et al: *J. of Ammonia Sulphate Eng. (Japan)*, Vol. 18, No. 2 (1965)
2. 南宮寛, 朴英宣: 韓國化學工學會 秋季研究發表會 (1967)
3. 南宮寛, 朴英宣: 韓國化學工學會 春季研究發表會 (1968)
4. 南宮寛, 金斗泳: 韓國化學工學會 秋季研究發表會 (1969)
5. 村長潔: 燃料協會誌 42 p. 219 (1963)
6. B. F. Dodge: *Trans. Am. Inst. Chem. Engrs.* 34 p. 329 (1938)
7. Reitmeier et al: *Ind. Eng. Chem.* 40 p. 620 (1948)
8. T. Inoue et al: *Girdler Catalyst News* No. 3 p. 9 (1969)